

Академия наук Украинской ССР  
Ордена Трудового Красного Знамени Институт математики

Препринт 88.49

НЕСТАЦИОНАРНЫЕ ЗАДАЧИ СТЕФАНА

Киев  
Институт математики АН УССР

1988

А. А. Березовский, В. Д. Довбня,  
Ю. В. Жерновой, Я. П. Романчук, Я. И. Сидельник

О ПРИБЛИЖЕННОМ РАСЧЕТЕ ТЕПЛОВЫХ ПРОЦЕССОВ ПРИ ПЛАВЛЕНИИ  
В УСЛОВИЯХ ВЫНУЖДЕННОЙ КОНВЕКЦИИ В ЖИДКОЙ ФАЗЕ

При электронно-лучевой гарнисажной плавке /ЭЛП/ применяется электромагнитное перемешивание расплава, которое обуславливает интенсивный конвективный теплообмен в жидкой ванне автотигла. Поэтому математическое моделирование процесса ЭЛП включает в себя моделирование тепловых, электромагнитных и гидродинамических процессов, протекающих при плавлении металла. Необходимость учета влияния на температурное поле конвективных потоков в жидкой ванне приводит к совместному решению уравнений Максвелла, Навье-Стокса и дифференциального уравнения теплового баланса. Реализация этой сложной математической модели сталкивается с большими вычислительными трудностями [1].

Для ориентировочных расчетов и прогнозов технологических процессов плавки конвективный перенос тепла в жидкой ванне можно заменить эквивалентным процессом теплопроводности. При этом считаем, что составляющие скорости жидкого металла равны нулю, а коэффициент его теплопроводности заменяем неким коэффициентом эффективной теплопроводности  $\lambda_{ж\text{эф}}$ , учитывающим перенос тепла с движущимися частицами расплава.

Для приближенных расчетов тепловых процессов при ЭЛП ограничимся рассмотрением одномерной нестационарной задачи Стефана для эквивалентного полого шара [2], которая после введения безразмерных переменных и параметров [3] принимает вид

$$\frac{1}{x^2} \frac{\partial}{\partial x} \left( x^2 \frac{\partial \theta}{\partial x} \right) - \kappa \frac{\partial \theta}{\partial \tau} - \rho x^2(\tau) \dot{x}(\tau) \delta(x - x(\tau)) = 0, \quad x_0 < x < 1, \quad \tau > 0;$$

$$\theta(x, 0) = \varphi(x), \quad \varphi(x_0) = 1; \quad \theta = 1, \quad x = x(\tau);$$

$$\frac{\partial \theta}{\partial x} = -q_0(\theta), \quad x = x_0; \quad \frac{\partial \theta}{\partial x} + h\theta = 0, \quad x = 1, \quad //$$

Здесь  $\theta(x, \tau)$ ,  $x(\tau)$  - безразмерные температура и координата изотермы плавления;  $x$ ,  $\tau$  - безразмерные координата и время;  $\gamma = \tilde{\kappa}^{-1}$ , где  $\tilde{\kappa} = \lambda_{ж\text{эф}} / \lambda_T$ ,  $\lambda_T$  - теплопроводность твердого металла.

Характерной особенностью процесса ЭЛП является стабилизация во времени температурного поля к предельному стационарному распределению  $\theta(x, \tau) \rightarrow \theta(x)$ ,  $x(\tau) \rightarrow x^*$ . Для его определения получаем стационарную задачу Стефана

$$\frac{1}{x^2} \frac{d}{dx} \left( \gamma(x) x^2 \frac{d\theta}{dx} \right) = 0, \quad x \in (x_0, x^*), \quad x \in (x^*, 1); \quad \gamma(x) = \begin{cases} 1, & x \in (x_0, x^*); \\ \gamma, & x \in (x^*, 1); \end{cases}$$

$$\frac{d\theta(x_0)}{dx} = -q_0(\theta_0), \quad \frac{d\theta(1)}{dx} + h\theta(1) = 0,$$

$$\theta(x^*) = 1, \quad \gamma \frac{d\theta}{dx}(x^*+0) - \frac{d\theta}{dx}(x^*-0) = 0$$

с точным аналитическим решением

$$\theta(x) = \begin{cases} \theta_0 - x_0 q_0(\theta_0) (1 - x_0/x), & x_0 \leq x \leq x^*, \\ \frac{[h + (1-h)x] x^*}{[h + (1-h)x^*] x}, & x^* \leq x \leq 1; \end{cases}$$

$$x^* = \frac{h x_0 (\theta_0 + \gamma - 1)}{\gamma h + x_0 (h-1)(\theta_0 - 1)}, \quad q_0(\theta_0) = \frac{h(\theta_0 + \gamma - 1)}{[h + (1-h)x_0] x_0}$$

В качестве примера рассмотрим плавление металла со следующими геометрическими и теплофизическими параметрами:  $a_0 = 0,175$  м /радиус цилиндра /автотигля/,  $\delta = 0,04$  м /радиус фокального пятна/,  $l = 0,35$  м /высота цилиндра/,  $\varepsilon = 0,4$  /степень черноты/;  $\sigma = 0,567 \cdot 10^{-7}$  Вт/м<sup>2</sup>·К<sup>4</sup> /постоянная Стефана-Больцмана/,  $c_{ж\rho_{ж}} = 9,89 \cdot 10^5$  Дж/°К·м<sup>3</sup>,  $c_T \rho_T = 2,251 \cdot 10^6$  Дж/°К·м<sup>3</sup>,  $\rho = \lambda \rho_{ж} = 0,2419 \cdot 10^{10}$  Дж/м<sup>3</sup> /Л - скрытая теплота плавления/,  $\mu_c = 300$ °К /температура среды/,  $\alpha = 3300$  Вт/м<sup>2</sup>·К /коэффициент теплообмена/,  $\lambda_T = 55$  Вт/м·К.

Для этих данных на рис.1 приведены кривые зависимости безразмерной температуры  $\theta(x)$  от безразмерной координаты  $x$  для

различных значений интенсивности электромагнитного перемешивания расплава /ЭМПР/, т. е. различных  $\bar{k}$ . Из приведенных расчетов следует, что увеличение интенсивности ЭМПР /увеличение  $\bar{k}$  / приводит к понижению температуры жидкой ванны и к незначительному повышению температуры твердого металла /при  $\bar{k} \geq 10$  значения  $\theta(x)$ ,  $x > x^*$ , очень близки для различных  $\bar{k}$  /. Кривые стационарного распределения температурного поля терпят излом в точке  $x=x^*$  тем больший, чем больше интенсивность ЭМПР /большое  $\bar{k}$  /.

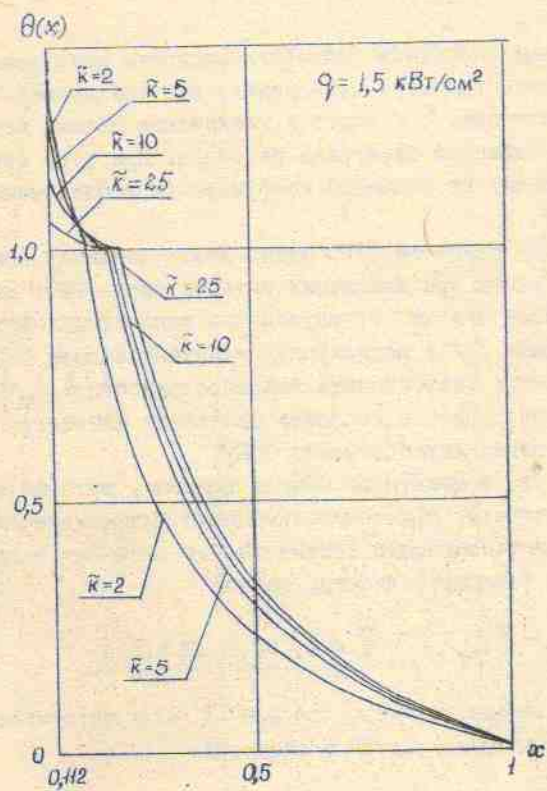


Рис. 1

На рис. 2,3 соответственно представлены зависимости объема расплавленного металла  $V$  и его перегрева  $\Delta u = \bar{u} - u^*$  /  $\bar{u}$  - средняя температура расплава/, определяемых соотношениями

$$V = \frac{2}{3} \pi z_0^3 (x^{*3} - x_0^3), \quad z_0 = (z_0^3 + 3\alpha_0^2 l / 2)^{1/3}, \quad z_0 = b / \sqrt{2},$$

$$\Delta u = \frac{x_0^2 (x^{*2} + x_0 x^* - 2x_0^2)}{2x^* (x^{*2} + x_0 x^* + x_0^2)} q_0(\theta_0) (u^* - u_c),$$

от  $\tilde{\kappa}$  при различных значениях плотности мощности электронного луча  $q$ . Результаты расчетов показывают, что увеличение интенсивности ЭМПР / увеличение  $\tilde{\kappa}$  / ведет к увеличению объема ванны, но одновременно и к понижению перегрева расплава. При этом объем и перегрев слабо зависят от значений коэффициента теплообмена  $\alpha = 2 \cdot 10^3 - 10^4 \text{ Вт/м}^2 \cdot \text{К}$ .

Для оптимизации процесса ЭЛПТ важно знать динамику основных параметров жидкой ванны при изменении интенсивности ЭМПР непосредственно в процессе плавки. Использование одномерной нестационарной задачи Стефана [1] и моделирование интенсивности ЭМПР с помощью эквивалентного коэффициента теплопроводности  $\lambda_{ж\text{эф}} = \tilde{\kappa} \lambda_T$  позволяет приближенно описать тепловое состояние автоиглы после "мгновенного" изменения интенсивности ЭМПР.

Предположим, что в некоторый момент времени, который мы принимаем за начало отсчета, произошло изменение интенсивности ЭМПР и новому значению интенсивности соответствует значение эквивалентного коэффициента теплопроводности, равное

$$\lambda_{ж\text{эф}} = \tilde{\kappa}_1 \lambda_T, \quad \tilde{\kappa}_1 = \tilde{\kappa} / m, \quad m > 0. \quad /2/$$

Для определенности будем считать, что при  $\tau = 0$  в автоигле установилось стационарное температурное состояние

$$\theta(x, 0) = \theta^*(x), \quad x_0 \leq x \leq 1; \quad \theta^*(x_0) = \theta_c^*, \quad x(0) = x^*, \quad /3/$$

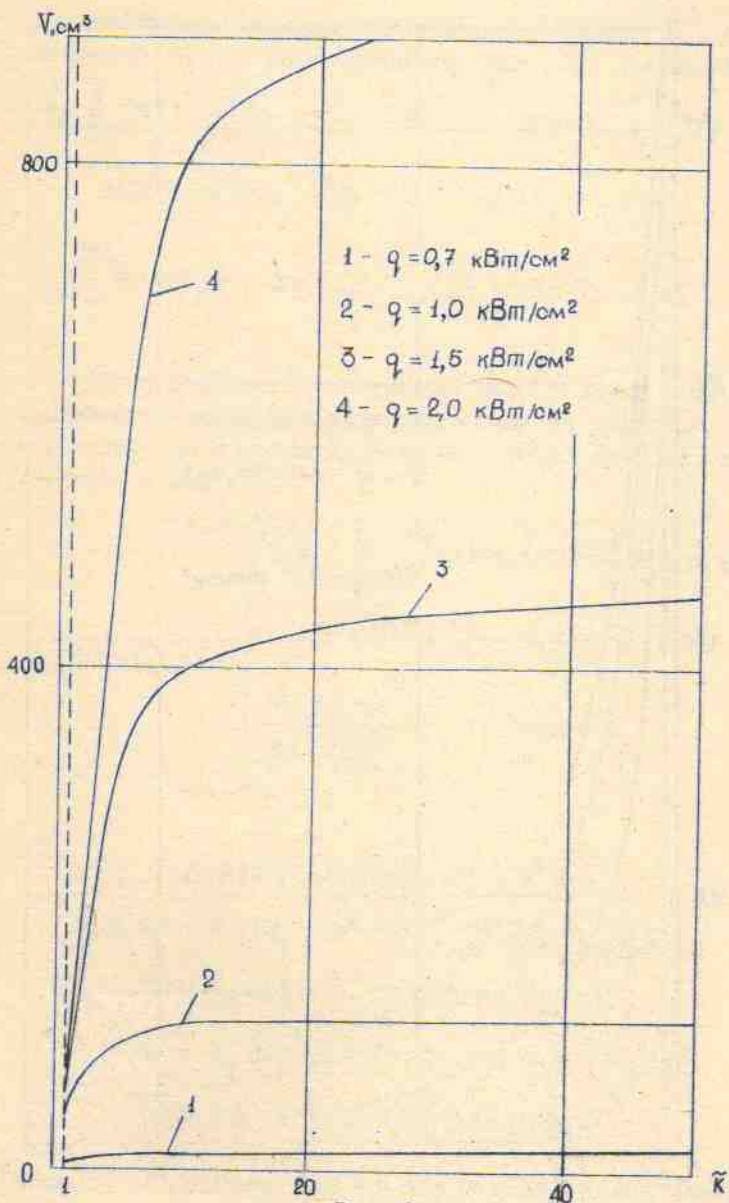


Рис. 2

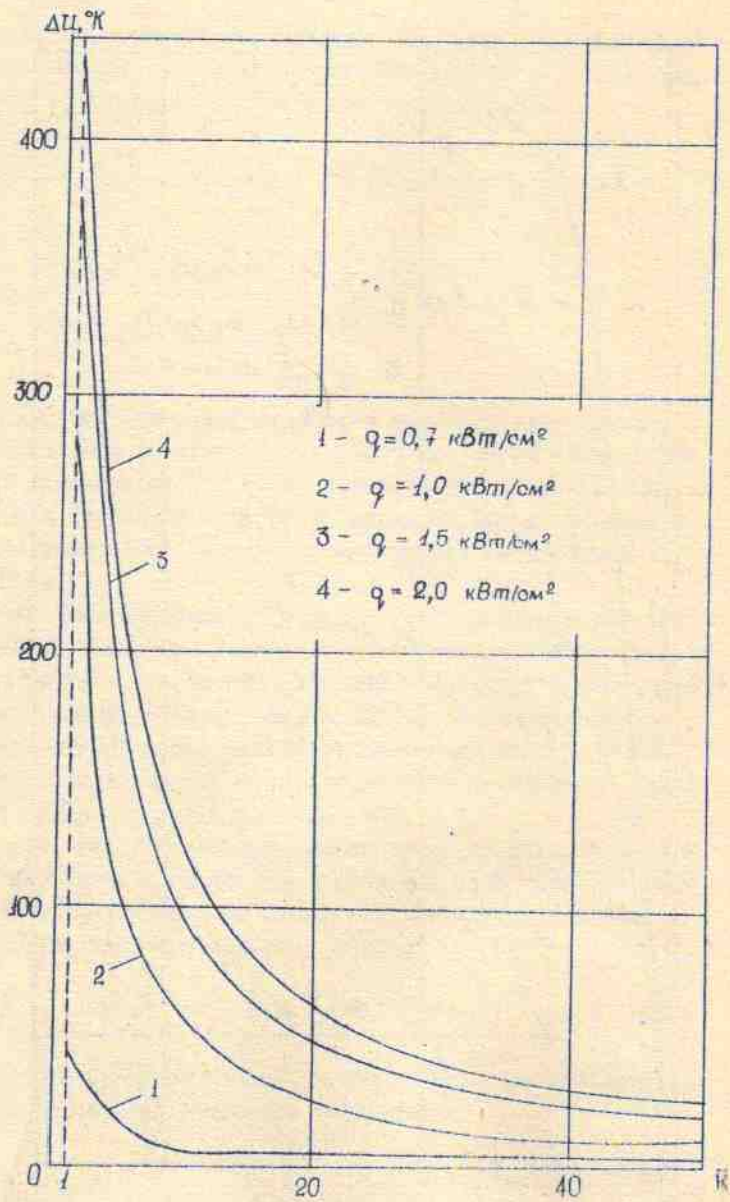


Рис. 3

соответствующее определенным значениям  $q = \text{const}$ ,  $\bar{\kappa}$ . С учетом соотношений /2/, /3/ нестационарная задача /I/ принимает вид

$$\frac{1}{x^2} \frac{\partial}{\partial x} (m \gamma x^2 \frac{\partial \theta}{\partial x}) - \kappa \frac{\partial \theta}{\partial \tau} - P x^2 \dot{x} \delta(x - x(\tau)) = 0, \quad x_0 < x < 1, \quad \tau > 0;$$

$$\theta(x, 0) = \theta^*(x), \quad \theta^*(x^*) = 1; \quad \theta = 1, \quad x = x(\tau);$$

$$\frac{\partial \theta}{\partial x} = -m q \varphi_3(\theta), \quad x = x_0; \quad \frac{\partial \theta}{\partial x} + h \theta = 0, \quad x = 1. \quad /4/$$

Для приближенного построения  $\theta(x, \tau)$  можно применить проекционно-сеточный метод [4] в простейшем его варианте, известном под названием  $\Pi$  метода Лейбензона. Приближенное решение задачи /4/ ищем в виде

$$\theta(x, \tau) \approx \tilde{\theta}(x, \tau) = \begin{cases} \theta_0(\tau) - \frac{1}{\Delta(x(\tau))} [a_0(x(\tau), \theta_0(\tau)) - \frac{1}{x} b_0(x(\tau), \theta_0(\tau)) - c_0(x(\tau), \theta_0(\tau)) x^n], & x_0 \leq x \leq x(\tau); \\ \frac{F(x)x(\tau)}{x F(x(\tau))}, & x(\tau) \leq x \leq 1, \end{cases} \quad /5/$$

где

$$n \geq 2, \quad \Delta(x) = (n-1)x^n - n x_0 x^{n-1} + x_0^n,$$

$$a_0(x, \theta_0) = (n-1)(\theta_0-1)x^n - m x_0^2 (x^{n-1} - x_0^{n-1}) \varphi_3(\theta_0),$$

$$b_0(x, \theta_0) = x_0 [n(\theta_0-1)x^n - m x_0 (x^n - x_0^n) \varphi_3(\theta_0)],$$

$$c_0(x, \theta_0) = x_0^n x^{n-1} G(x, \theta_0), \quad F(x) = h + (1-h)x,$$

$$G(x, \theta_0) = m x_0 (x - x_0) \varphi_3(\theta_0) - x(\theta_0 - 1).$$

Решение /5/ удовлетворяет крайним условиям задачи /4/ при любом выборе функций  $\theta_0(\tau)$ ,  $x(\tau)$ . Если  $\theta_0(0) = \theta_0^*$ ,  $x(0) = x^*$ , то



At  $\tilde{\theta}(x,0) = \theta^*(x)$ ,  $x_0 \leq x \leq x^*$ ;  $\tilde{\theta}(x,0) = \theta^*(x)$ ,  $x^* \leq x \leq 1$ .

Пределный переход  $\tilde{\theta}(x,0) \xrightarrow{n \rightarrow \infty} \theta^*(x)$  проиллюстрирован на рис. 4, где пунктирной линией показана зависимость  $\theta = \theta^*(x)$ ,  $x_0 \leq x \leq x^*$ , а сплошными линиями - зависимости  $\theta = \tilde{\theta}(x,0)$ ,  $x_0 \leq x \leq x^*$ , при различных значениях  $m$ ,  $n$ .

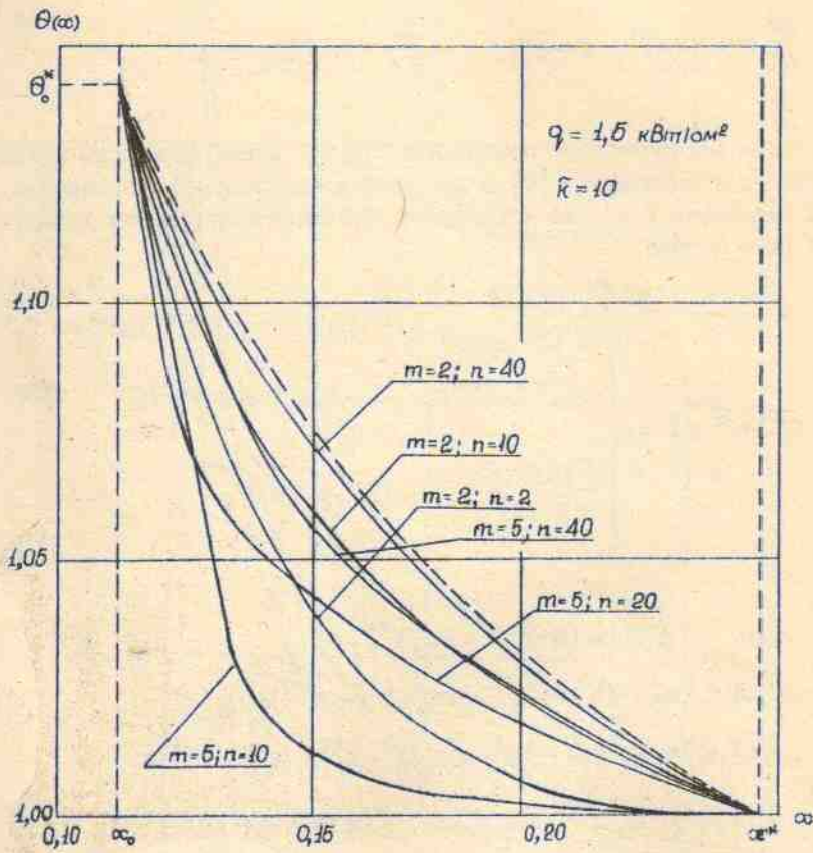


Рис. 4

Требую, чтобы функция /5/ удовлетворяла дифференциальному уравнению задачи /4/ в интегральном смысле и интегральному условию теплового баланса в жидкой фазе, получим

$$\int_{x_0}^1 \frac{\partial}{\partial x} (m\gamma(x)x^2 \frac{\partial \tilde{\theta}}{\partial x}) dx - \int_{x_0}^1 \kappa(x) \frac{\partial \tilde{\theta}}{\partial x} x^2 dx - P x^2(\tau) \dot{x}(\tau) = 0, \quad /6/$$

$$\int_{x_0}^{x(\tau)-0} \frac{\partial}{\partial x} (x^2 \frac{\partial \tilde{\theta}}{\partial x}) dx - \int_{x_0}^{x(\tau)-0} \frac{\partial \tilde{\theta}}{\partial x} x^2 dx = 0,$$

откуда после вычисления производных и интегралов приходим к задаче Коши для системы двух нелинейных обыкновенных дифференциальных уравнений относительно  $x(\tau)$ ,  $\theta_0(\tau)$ :

$$\dot{x} = \frac{A(x, \theta_0)}{B(x)}, \quad \dot{\theta}_0 = \frac{C(x, \theta_0)}{D(x, \theta_0)}, \quad \tau > 0;$$

$$x(0) = x^*, \quad \theta_0(0) = \theta_0^*.$$

Здесь

$$A(x, \theta_0) = \delta F(x) \{ m \Delta(x) [x_0^2 q_3(\theta_0) F(x) - \gamma h x] - n x_0 (x^{n-1} - x_0^{n-1}) F(x) G(x, \theta_0) \};$$

$$B(x) = \Delta(x) \{ \kappa h (1-x) [2(1+x+x^2) + h(1+x-2x^2)] + \delta P x^2 F'(x) \};$$

$$C(x, \theta_0) = \delta n (n-3) \Delta(x) (x^{n-1} - x_0^{n-1}) G(x, \theta_0) B(x) - \{ \delta (x^n - x_0^n) +$$

$$+ n(x-x_0)x^{n-3} [2(n-4)(x^2 + x_0 x + x_0^2) - 3(n-3)x_0(x+x_0)] \} \times$$

$$\times [n x (x^{n-1} - x_0^{n-1})(\theta_0 - 1) - m x_0 \Delta_1(x) q_3(\theta_0)] \alpha A(x, \theta_0);$$

$$D(x, \theta_0) = \Delta(x) \{ n(x-x_0) [(n-3)(x-x_0)(x+2x_0)x^{n-1} +$$

$$+ 2x_0^{n-1}(x^2 + x_0x + x_0^2) - 6x_0^2(x^n - x_0^n) - mx_0(x - x_0)q'_0(\theta_0) \times \\ \times \{(n-3)[x^{n+1} - x_0^{n+1} + x_0x(x^{n-1} - x_0^{n-1})] - 2nx_0^2x^2(x^{n-3} - x_0^{n-3})\} \} B(x);$$

$$\Delta_1(x) = x^n - nx_0^{n-1}x + (n-1)x_0^n.$$

Используя нестационарную задачу /1/ для описания динамики теплового состояния автотигля на этапе до изменения интенсивности ЭМПР и представляя ее приближенное решение в виде

$$\theta(x, \tau) \approx \tilde{\theta}(x, \tau) = \begin{cases} \theta_0(\tau) - x_0 q_0(\theta_0(\tau))(1 - x_0/x), & x_0 \leq x \leq x(\tau), \\ \frac{F(x)x(\tau)}{F(x(\tau))x}, & x(\tau) \leq x \leq 1, \end{cases} \quad /7/$$

$$x(\tau) = x(\theta_0) = \frac{x_0^2 q_0(\theta_0)}{x_0 q_0(\theta_0) - \theta_0 + 1},$$

с помощью /6/ приходим к задаче Коши для  $\theta_0 = \theta_0(\tau)$

$$\dot{\theta}_0 = \frac{M(\theta_0)}{N(\theta_0)}, \quad \theta_0(0) = 1,$$

где

$$M(\theta_0) = 6F(x(\theta_0))Q^2(\theta_0)[x_0^2 F(x(\theta_0))q_0(\theta_0) - \gamma h x(\theta_0)] + \\ + \{ F^2(x(\theta_0))Q^2(\theta_0)[x(\theta_0) - x_0][2x^2(\theta_0) - x_0x(\theta_0) - x_0^2] + \\ + x_0(\theta_0 - 1)\{ \kappa h [1 - x(\theta_0)][2(1 + x(\theta_0) + x^2(\theta_0)) + h(1 + \\ + x(\theta_0) - 2x^2(\theta_0))] + 6P x^2(\theta_0) F^2(x(\theta_0)) \} \} x_0 \dot{q}_0(\tau); \\ N(\theta_0) = F^2(x(\theta_0))Q^2(\theta_0)\{ 2[1 - x_0 q'_0(\theta_0)][x^3(\theta_0) - x_0^3] +$$

$$\begin{aligned}
 &+ 3x_0^2 q'_3(\theta_0) [x^2(\theta_0) - x_0^2] \} + \kappa h x_0^2 [q_3(\theta_0) - q'_3(\theta_0)(\theta_0 - 1)] [2(1 + \\
 &+ x(\theta_0) + x^2(\theta_0)) + h(1 + x(\theta_0) - 2x^2(\theta_0))] (1 - x(\theta_0)) + \\
 &+ 6P x_0^2 x^2(\theta_0) F^2(x(\theta_0)) [q_3(\theta_0) - q'_3(\theta_0)(\theta_0 - 1)]; \quad Q(\theta_0) = x_0 q_3(\theta_0) - \theta_0 + 1.
 \end{aligned}$$

Полученные решения /5/, /7/ позволяют определить динамику объема жидкой ванны и перегрева расплава до и после изменения интенсивности ЭМПР

$$V(\tau) = \frac{2}{3} \pi r_0^3 [x^3(\tau) - x_0^3];$$

$$\begin{aligned}
 \Delta u(\tau) = &(u^* - u_0) \{ \theta_0(\tau) - 1 - x_0 q_3(\theta_0) + \\
 &+ \frac{3x_0^2 [x_0 + x(\tau)] q_3(\theta_0)}{2[x^2(\tau) + x_0 x(\tau) + x_0^2]} \} , \quad \lambda_{ж \text{ эф}} = \tilde{\kappa} \lambda_T ;
 \end{aligned}$$

$$\begin{aligned}
 \Delta u(\tau) = &(u^* - u_0) \left\{ \theta_0(\tau) - 1 - \frac{\alpha_0(x(\tau), \theta_0(\tau))}{\Delta(x(\tau))} + \right. \\
 &+ \frac{3}{\Delta(x(\tau))} \left\{ \frac{[x_0 + x(\tau)] \beta_0(x(\tau), \theta_0(\tau))}{2[x^2(\tau) + x_0 x(\tau) + x_0^2]} + \frac{[x^{\kappa-3}(\tau) - x_0^{\kappa-3}] c_0(x(\tau), \theta_0(\tau))}{(n-3)x^{\kappa-3}(\tau)[x^3(\tau) - x_0^3]} \right\} \} , \\
 &\lambda_{ж \text{ эф}} = \frac{\tilde{\kappa}}{n} \lambda_T .
 \end{aligned}$$

Соответствующие результаты численных расчетов представлены на рис. 5, 6 для значений плотности мощности электронного луча, равных  $q = q_1 = 1,5 \text{ кВт/см}^2$  и  $q = q_2 = 3 \text{ кВт/см}^2$  при  $\tilde{\kappa} = 25$  /рис. 5/,  $\tilde{\kappa} = 5$  /рис. 6/. В левых частях рисунков показана динамика объема  $V$  /сплошные линии/ и перегрева  $\Delta u$  /пунктирные линии/ до изменения интенсивности ЭМПР, а в правых частях - после изменения.

Результаты расчетов показывают, что перегрев жидкого металла на этапе разогрева до изменения интенсивности ЭМПР при больших мощностях быстро растет и даже превышает стационарное значение  $\Delta u_{ст}$ , соответствующее данной плотности мощности  $q$ , со време-

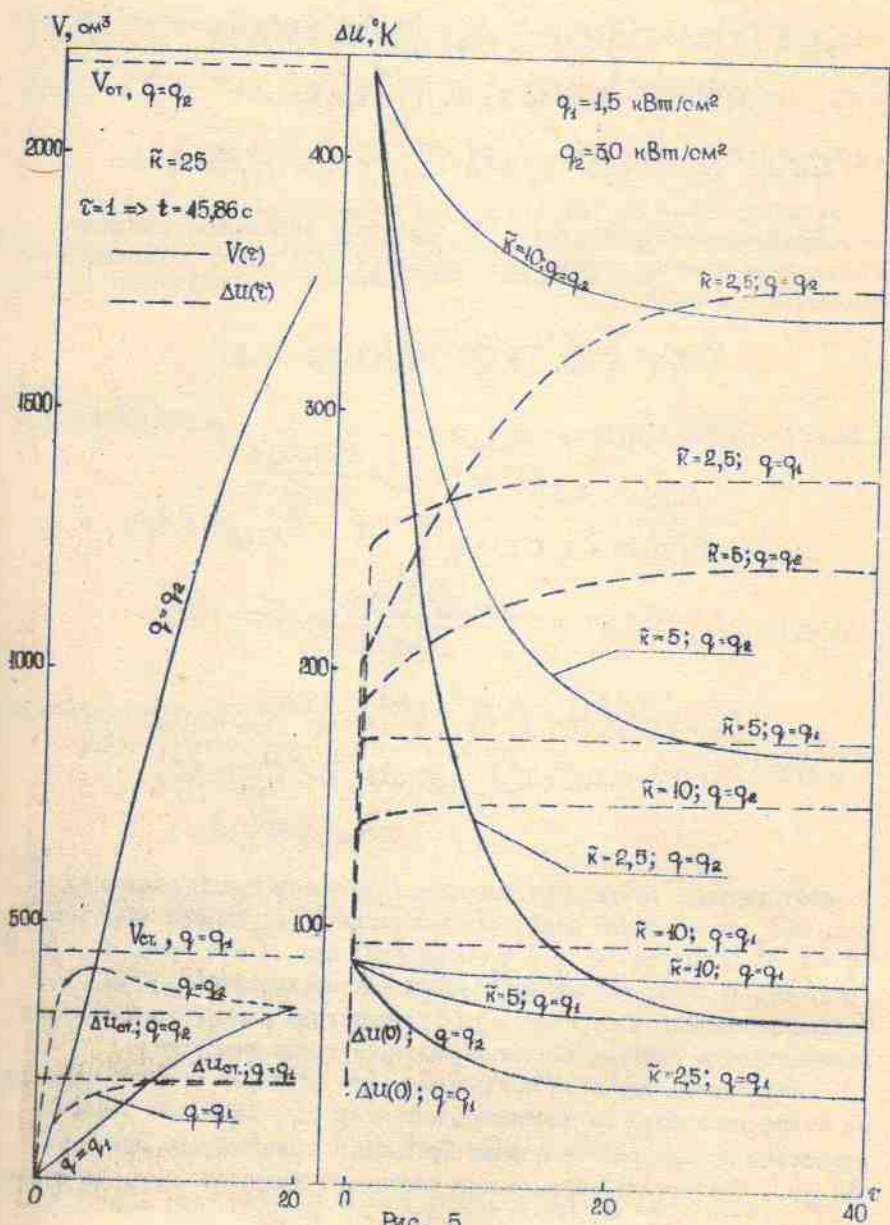


Рис. 5

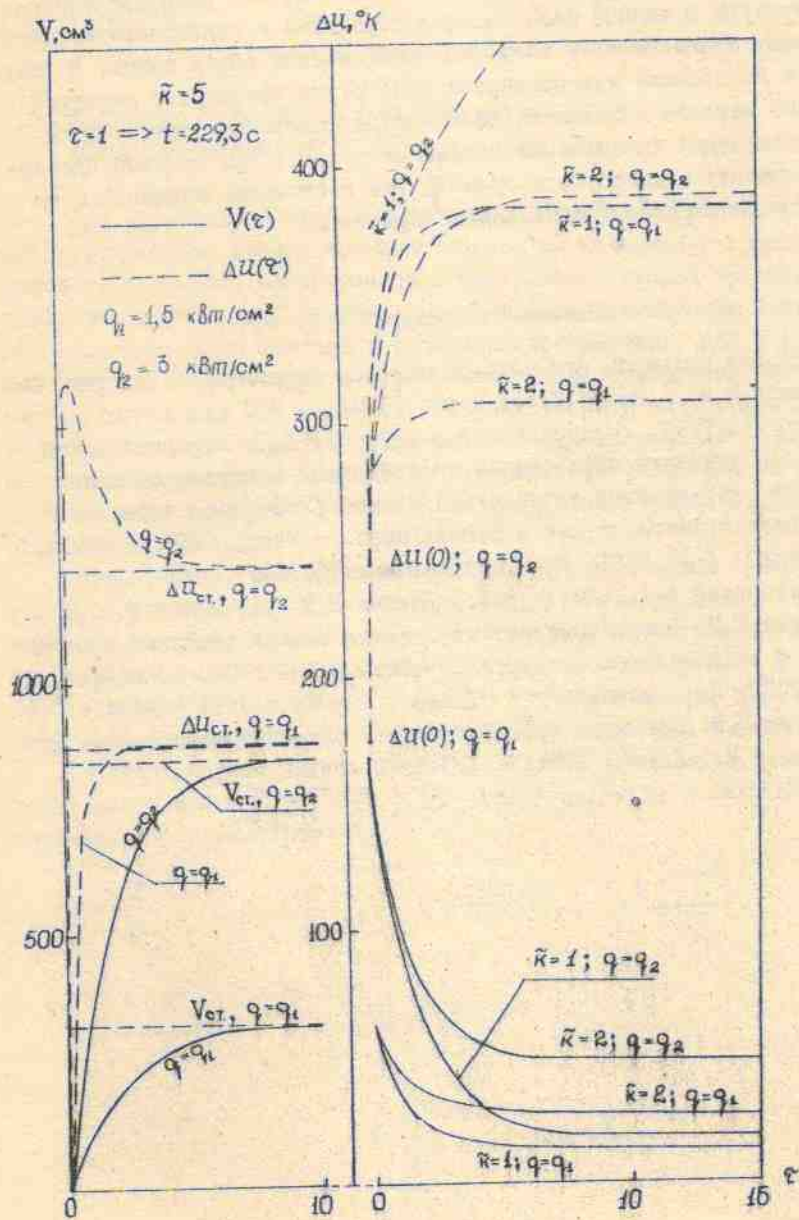


Рис. 6

нем стремясь к  $\Delta U_{оп}$ . Это обусловлено тем, что распределение температуры в жидкой фазе быстрее стремится к стационарному, чем к своему стационарному значению приближается объем ванны. В результате уменьшения интенсивности ЭМПР резко возрастает перегрев жидкого металла и значительно медленнее протекает сам процесс кристаллизации /уменьшение объема расплава/. При большей плотности мощности электронного луча  $q$  на достижение максимального значения перегрева уходит больше времени.

#### Список литературы

1. Тепловые процессы при электрошлаковом переплаве / Под ред. Медовара Б.И. - Киев: Наук. думка, 1978. - 304 с.
2. Андреева Т.А., Березовский А.А., Довбня В.Д. Математические модели динамики образования жидкой ванны в автотигле при электронно-лучевой гарнисажной плавке // Задачи Стефана в спецэлектрометаллургии и физике моря. - Киев, 1986. - С. 3-21. (Препр. / АН УССР. Ин-т математики; 86.19).
3. Березовский А.А., Вигак В.М., Довбня В.Д., Жегановой Ю.В., Калита Г.И. Одномерные математические модели тепловых процессов в спецэлектрометаллургии. - Киев, 1987. - 34 с. (Препр./ АН УССР. Ин-т математики; 87.29).
4. Марчук Г.И., Агояков В.И. Введение в проекционно-сеточные методы. - М.: Наука, 1981. - 416 с.